

Análisis de Exoma

REPORTE TIPO

GC24_XXXXX

Análisis de Secuenciación de Exoma dirigido

Nombre Paciente	REPORTE TIPO	Código	GC24_XXXXX
Fecha de Nacimiento/Edad	XX años	Género	XXXXXX
Tipo de muestra	Sangre Periférica / Hisopado Bucal	Fecha	XX de XXX de X
Médico Solicitante	Dr. XXXXX XXXXX XXXXX		
Solicitud del paciente	Variantes especificadas por el cliente		

Resumen de Resultados

Descripción del análisis	Genes analizados	Variantes totales	Variantes patogénicas
Variantes encontradas en el análisis de exoma	19,396	31352	2
Variantes de Genes seleccionados por el ACMG*	79	217	0
Variantes de Genes asociados al cuadro clínico	643	1458	1

*ACMG: American College of Medical Genetics

Genes de interés (Solicitud especializada de 643 genes)

De acuerdo con los lineamientos y parámetros recomendados por el colegio americano de médicos genetistas, las variantes presentes en los genes solicitados que cumplieron con los criterios de selección como variantes patogénicas se encuentran resaltadas de color rojo en la siguiente tabla:

GEN	UBICACIÓN	GEN	UBICACIÓN	GEN	UBICACIÓN
AAAS	12q13.13	ANG	14q11.2	ATCAY	19p13.3
AARS2	6p21.1	ANO10	3p21.33	ATG5	6q21
ABCA2	9q34.3	AP1S2	Xp22.2	ATL1	14q22.1
ABCB7	Xq13.3	AP4B1	1p13.2	ATM	11q22.3
ABCD1	Xq28	AP4E1	15q21.2	ATP13A2	1p36.13
ABHD12	20p11.21	AP4M1	7q22.1	ATP1A1	1p13.1
ACO2	22q13.2	AP4S1	14q12	ATP1A2	1q23.2
ACTL6B	7q22.1	AP5Z1	7p22.1	ATP1A3	19q13.2
ADA2	22q11.1	APOB	2p24.1	ATP2B3	Xq28
ADAR	1q21.3	APTX	9p21.1	ATP2B4	1q32.1
ADSL	22q13.1	ARG1	6q23.2	ATP7A	Xq21.1
AFG3L2	18p11.21	ARL13B	3q11.1	ATP7B	13q14.3
AGTPBP1	9q21.33	ARL3	10q24.32	ATP8A2	13q12.13
AHI1	6q23.3	ARL6IP1	16p12.3	ATPAF2	17p11.2
AIFM1	Xq26.1	ARMC9	2q37.1	ATRX	Xq21.1
AIMP1	4q24	ARSA	22q13.33	AUH	9q22.31
ALDH18A1	10q24.1	ARV1	1q42.2	B4GALNT1	12q13.3
ALDH5A1	6p22.3	ARX	Xp21.3	B9D1	17p11.2
ALG6	1p31.3	ASL	7q11.21	B9D2	19q13.2
ALS2	2q33.1	ASS1	9q34.11	BCKDHA	19q13.2
AMACR	5p13.2	ATAD3A	1p36.33	BCKDHB	6q14.1



GEN	UBICACIÓN	GEN	UBICACIÓN	GEN	UBICACIÓN
BCS1L	2q35	COG4	16q22.1	DHX30	3p21.31
BEAN1	16q21	COG5	7q22.3	DKC1	Xq28
BICD2	9q22.31	COG7	16p12.2	DLAT	11q23.1
BOLA3	2p13.1	COG8	16q22.1	DLD	7q31.1
BRAT1	7p22.3	COL18A1	21q22.3	DNAJC19	3q26.33
BSCL2	11q12.3	COQ2	4q21.23	DNAJC3	13q32.1
BTD	3p25.1	COQ4	9q34.11	DNAJC5	20q13.33
C19orf12	19q12	COQ6	14q24.3	DNM1L	12p11.21
CA8	8q12.1	COQ9	16q21	DNM2	19p13.2
CACNA1A	19p13.13	COX10	17p12	DNMT1	19p13.2
CACNA1G	17q21.33	COX14	12q13.12	DOCK3	3p21.2
CACNA2D2	3p21.31	COX15	10q24.2	DPM1	20q13.13
CACNB4	2q23.3	COX20	1q44	DPM2	9q34.11
CAMTA1	1p36.31	COX6A2	16p11.2	DSTYK	1q32.1
CAPN1	11q13.1	COX6B1	19q13.12	DYNC1H1	14q32.31
CASK	Xp11.4	CP	3q25.1	EBF3	10q26.3
CAV1	7q31.2	CPS1	2q34	EEF2	19p13.3
CC2D2A	4p15.32	CPT1C	19q13.33	EGR2	10q21.3
CCDC88C	14q32.12	CRAT	9q34.11	EIF2AK1	7p22.1
CCT5	5p15.2	CSPP1	8q13.1	EIF2AK2	2p22.2
CDK16	Xp11.3	CSTB	21q22.3	EIF2B1	12q24.31
CDKL5	Xp22.13	CTBP1	4p16.3	EIF2B2	14q24.3
CEP104	1p36.32	CTC1	17p13.1	EIF2B3	1p34.1
CEP120	5q23.2	CTDP1	18q23	EIF2B4	2p23.3
CEP290	12q21.32	CTNNA2	2p12	EIF2B5	3q27.1
CEP41	7q32.2	CTNNB1	3p22.1	ELOVL4	6q14.1
CHAMP1	13q34	CTSA	20q13.12	ELOVL5	6p12.1
CHCHD10	22q11.23	CTSD	11p15.5	ENTPD1	10q24.1
CHMP1A	16q24.3	CTSF	11q13.2	EPM2A	6q24.3
CHMP2B	3p11.2	CUL4B	Xq24	EPRS1	1q41
CHP1	15q15.1	CWF19L1	10q24.31	ERBB4	2q34
CLCN2	3q27.1	CYP27A1	2q35	ERCC3	2q14.3
CLN5	13q22.3	CYP2U1	4q25	ERCC4	16p13.12
CLN6	15q23	CYP7B1	8q12.3	ERCC5	13q33.1
CLN8	8p23.3	DAB1	1p32.1	ERCC6	10q11.23
CLP1	11q12.1	DARS1	2q21.3	ERCC8	5q12.1
CLPB	11q13.4	DARS2	1q25.1	ERLIN1	10q24.31
CLPP	19p13.3	DBT	1p21.2	ERLIN2	8p11.23
COA5	2q11.2	DCX	Xq23	ETHE1	19q13.31
COA8	14q32.33	DDHD1	14q22.1	EXOSC3	9p13.2
COASY	17q21.2	DDHD2	8p11.23	EXOSC8	13q13.3
COG1	17q25.1	DGAT2	11q13.5	EXOSC9	4q27



GEN	UBICACIÓN	GEN	UBICACIÓN	GEN	UBICACIÓN
FA2H	16q23.1	GLS	2q32.2	KCND3	1p13.2
FAM149B1	10q22.2	GMPPB	3p21.31	KCNJ10	1q23.2
FARS2	6p25.1	GOSR2	17q21.32	KCNMA1	10q22.3
FASTKD2	2q33.3	GPAA1	8q24.3	KCNQ2	20q13.33
FAT1	4q35.2	GPI	19q13.11	KCTD7	7q11.21
FAT2	5q33.1	GRIA2	4q32.1	KIAA0586	14q23.1
FBXL4	6q16.2	GRIA4	11q22.3	KIDINS220	2p25.1
FGF12	3q29	GRID2	4q22.1	KIF1A	2q37.3
FGF14	13q33.1	GRM1	6q24.3	KIF1B	1p36.22
FIG4	6q21	GRN	17q21.31	KIF1C	17p13.2
FITM2	20q13.12	GSS	20q11.22	KIF5A	12q13.3
FKRP	19q13.32	GTPBP2	6p21.1	KIF7	15q26.1
FKTN	9q31.2	HACE1	6q16.3	KLC2	11q13.2
FLVCR1	1q32.3	HARS2	5q31.3	KY	3q22.2
FMR1	Xq27.3	HCN1	5p12	L1CAM	Xq28
FOLR1	11q13.4	HEPACAM	11q24.2	L2HGDH	14q21.3
FOXG1	14q12	HERC1	15q22.31	LAMA1	18p11.31
FOXRED1	11q24.2	HEXA	15q23	LARGE1	22q12.3
FRMD4A	10p13	HEXB	5q13.3	LIG4	13q33.3
FTL	19q13.33	HIBCH	2q32.2	LMNB1	5q23.2
FUS	16p11.2	HIKESHI	11q14.2	LMNB2	19p13.3
FXN	9q21.11	HIP1R	12q24.31	LRP4	11p11.2
GABRB3	15q12	HLCS	21q22.13	LRPPRC	2p21
GAD1	2q31.1	HNRNPA1	12q13.13	LRSAM1	9q33.3
GALC	14q31.3	HNRNPH2	Xq22.1	MAB21L1	13q13.3
GALNT2	1q42.13	HPDL	1p34.1	MAG	19q13.12
GAMT	19p13.3	HSD17B4	5q23.1	MAN2B1	19p13.13
GAN	16q23.2	HSPD1	2q33.1	MAPK8IP3	16p13.3
GBA	1q22	HTRA1	10q26.13	MARS2	2q33.1
GBA2	9p13.3	IBA57	1q42.13	MAST1	19p13.13
GBE1	3p12.2	IFIH1	2q24.2	MATR3	5q31.2
GCDH	19p13.13	IFT140	16p13.3	MATR3	5q31.2
GCH1	14q22.2	INPP5E	9q34.3	MBD5	2q23.1
GCLC	6p12.1	IQSEC1	3p25.1	MCOLN1	19p13.2
GDAP2	1p12	IRF2BPL	14q24.3	MECP2	Xq28
GEMIN4	17p13.3	ITM2B	13q14.2	MECR	1p35.3
GEMIN5	5q33.2	ITPR1	3p26.1	MFSD8	4q28.2
GFAP	17q21.31	JAM2	21q21.3	MGAT2	14q21.3
GJA1	6q22.31	KCNA1	12p13.32	MGME1	20p11.23
GJB1	Xq13.1	KCNA2	1p13.3	MKS1	17q22
GJC2	1q42.13	KCNC1	11p15.1	MLC1	22q13.33
GLB1	3p22.3	KCNC3	19q13.33	MMADHC	2q23.2



GEN	UBICACIÓN	GEN	UBICACIÓN	GEN	UBICACIÓN
MME	3q25.2	NKX6-2	10q26.3	PEX19	1q23.2
MORC2	22q12.2	NOL3	16q22.1	PEX2	8q21.13
MPDU1	17p13.1	NPC1	18q11.2	PEX26	22q11.21
MPV17	2p23.3	NPC2	14q24.3	PEX3	6q24.2
MPZ	1q23.3	NPHP1	2q13	PEX5	12p13.31
MSTO1	1q22	NT5C2	10q24.33	PEX6	6p21.1
MTFMT	15q22.31	NTNG2	9q34.13	PEX7	6q23.3
MTPAP	10p11.23	NUBPL	14q12	PFN1	17p13.2
MTTP	4q23	NUP62	19q13.33	PGK1	Xq21.1
MVK	12q24.11	NUS1	6q22.1	PGM3	6q14.1
NALCN	13q33.1	OFD1	Xp22.2	PHYH	10p13
NAT8L	4p16.3	OPA1	3q29	PIBF1	13q21.33
NAXE	1q22	OPA3	19q13.32	PIEZ02	18p11.21
NDUFA1	Xq24	OPHN1	Xq12	PIGG	4p16.3
NDUFA10	2q37.3	OPTN	10p13	PIK3R5	17p13.1
NDUFA11	19p13.3	OTC	Xp11.4	PLA2G6	22q13.1
NDUFA12	12q22	OTUD4	4q31.21	PLD3	19q13.2
NDUFA2	5q31.3	PANK2	20p13	PLP1	Xq22.2
NDUFA6	22q13.2	PAX6	11p13	PMM2	16p13.2
NDUFA9	12p13.32	PAX9	14q13.3	PMP22	17p12
NDUFAF1	15q15.1	PC	11q13.2	PMPCA	9q34.3
NDUFAF2	5q12.1	PCDH12	5q31.3	PMPCB	7q22.1
NDUFAF3	3p21.31	PCDH19	Xq22.1	PNKD	2q35
NDUFAF4	6q16.1	PCLO	7q21.11	PNKP	19q13.33
NDUFAF5	20p12.1	PCNA	20p12.3	PNP	14q11.2
NDUFAF6	8q22.1	PCYT2	17q25.3	PNPLA6	19p13.2
NDUFB3	2q33.1	PDE6D	2q37.1	POLG	15q26.1
NDUFS1	2q33.3	PDHA1	Xp22.12	POLR1A	2p11.2
NDUFS2	1q23.3	PDHB	3p14.3	POLR1C	6p21.1
NDUFS3	11p11.2	PDHX	11p13	POLR3A	10q22.3
NDUFS4	5q11.2	PDP1	8q22.1	POLR3B	12q23.3
NDUFS6	5p15.33	PDSS1	10p12.1	POMGNT1	1p34.1
NDUFS7	19p13.3	PDSS2	6q21	POMGNT2	3p22.1
NDUFS8	11q13.2	PDYN	20p13	POMT1	9q34.13
NDUFV1	11q13.2	PET100	19p13.2	PPT1	1p34.2
NDUFV2	18p11.22	PEX1	7q21.2	PRDM8	4q21.21
NEU1	6p21.33	PEX10	1p36.32	PRF1	10q22.1
NF2	22q12.2	PEX11B	1q21.1	PRICKLE1	12q12
NFASC	1q32.1	PEX12	17q12	PRICKLE2	3p14.1
NHLRC1	6p22.3	PEX13	2p15	PRKCG	19q13.42
NIPA1	15q11.2	PEX14	1p36.22	PRNP	20p13
NKX2-1	14q13.3	PEX16	11p11.2	PRPS1	Xq22.3



GEN	UBICACIÓN	GEN	UBICACIÓN	GEN	UBICACIÓN
PRRT2	16p11.2	SDHAF1	19q13.12	SPG7	16q24.3
PRX	19q13.2	SDHD	11q23.1	SPR	2p13.2
PSAP	10q22.1	SEPSECS	4p15.2	SPTAN1	9q34.11
PSEN1	14q24.2	SERAC1	6q25.3	SPTBN2	11q13.2
PTRH2	17q23.1	SETX	9q34.13	SQSTM1	5q35.3
PTS	11q23.1	SGCE	7q21.3	STUB1	16p13.3
PUM1	1p35.2	SH3TC2	5q32	STXBP1	9q34.11
PYCR2	1q42.12	SHMT2	12q13.3	SUCLG1	2p11.2
QARS1	3p21.31	SIGMAR1	9p13.3	SUFU	10q24.32
RAB11B	19p13.2	SIL1	5q31.2	SUMF1	3p26.1
RARS1	5q34	SLC13A3	20q13.12	SUOX	12q13.2
RARS2	6q15	SLC13A5	17p13.1	SURF1	9q34.2
REEP1	2p11.2	SLC16A2	Xq13.2	SYNE1	6q25.2
REEP2	5q31.2	SLC17A5	6q13	SYT14	1q32.2
RELN	7q22.1	SLC19A2	1q24.2	TACO1	17q23.3
REPS1	6q24.1	SLC19A3	2q36.3	TANC2	17q23.2
RFC4	3q27.3	SLC1A3	5p13.2	TARDBP	1p36.22
RFT1	3p21.1	SLC1A4	2p14	TBC1D23	3q12.1
RNASEH1	2p25.3	SLC20A2	8p11.21	TBC1D24	16p13.3
RNASEH2B	13q14.3	SLC25A15	13q14.11	TBCE	1q42.3
RNASET2	6q27	SLC25A46	5q22.1	TBCE	1q42.3
RNF168	3q29	SLC2A1	1p34.2	TBK1	12q14.2
RNF170	8p11.21	SLC30A9	4p13	TCF20	22q13.2
RNF216	7p22.1	SLC33A1	3q25.31	TCF4	18q21.2
ROGDI	16p13.3	SLC39A4	8q24.3	TCN2	22q12.2
RORA	15q22.2	SLC44A1	9q31.1	TCTN1	12q24.11
RPGRIP1L	16q12.2	SLC46A1	17q11.2	TCTN2	12q24.31
RPIA	2p11.2	SLC52A2	8q24.3	TCTN3	10q24.1
RRM2B	8q22.3	SLC52A3	20p13	TDP1	14q32.11
RTN2	19q13.32	SLC5A6	2p23.3	TDP2	6p22.3
RTN4IP1	6q21	SLC6A1	3p25.3	TECPR2	14q32.31
RUBCN	3q29	SLC6A19	5p15.33	TELO2	16p13.3
SACS	13q12.12	SLC9A1	1p36.11	TFG	3q12.2
SAMD9L	7q21.2	SLC9A6	Xq26.3	TGM6	20p13
SARS2	19q13.2	SNAP25	20p12.2	TH	11p15.5
SCARB2	4q21.1	SNX14	6q14.3	THG1L	5q33.3
SCN1A	2q24.3	SOD1	21q22.11	TINF2	14q12
SCN2A	2q24.3	SOX10	22q13.1	TMEM106B	7p21.3
SCN8A	12q13.13	SPART	13q13.3	TMEM107	17p13.1
SCO1	17p13.1	SPAST	2p22.3	TMEM138	11q12.2
SCYL1	11q13.1	SPG11	15q21.1	TMEM216	11q12.2
SDHA	5p15.33	SPG21	15q22.31	TMEM231	16q23.1



GEN	UBICACIÓN	GEN	UBICACIÓN	GEN	UBICACIÓN
TMEM237	2q33.1	TUBA4A	2q35	VLDLR	9p24.2
TMEM240	1p36.33	TUBA8	22q11.21	VPS11	11q23.3
TMEM63A	1q42.12	TUBB	6p21.33	VPS13D	1p36.22
TMEM67	8q22.1	TUBB2A	6p25.2	VPS37A	8p22
TMEM70	8q21.11	TUBB2B	6p25.2	VPS53	17p13.3
TOE1	1p34.1	TUBB3	16q24.3	VRK1	14q32.2
TOP3A	17p11.2	TUBB4A	19p13.3	VWA3B	2q11.2
TPK1	7q35	TWNK	10q24.31	WARS2	1p12
TPP1	11p15.4	TXN2	22q12.3	WDR26	1q42.12
TRAPPC11	4q35.1	TYMP	22q13.33	WDR45B	17q25.3
TRAPPC6B	14q21.1	TYROBP	19q13.12	WDR62	19q13.12
TRIM32	9q33.1	UBA5	3q22.1	WDR73	15q25.2
TRNT1	3p26.2	UBAP1	9p13.3	WDR81	17p13.3
TRPC3	4q27	UBE3A	15q11.2	WFS1	4p16.1
TSEN15	1q25.3	UBQLN2	Xp11.21	WWOX	16q23.1
TSEN2	3p25.2	UBR4	1p36.13	XPA	9q22.33
TSEN34	19q13.42	UBTF	17q21.31	XRCC1	19q13.31
TSEN54	17q25.1	UCHL1	4p13	XRCC4	5q14.2
TSFM	12q14.1	UNC80	2q34	YME1L1	10p12.1
TTBK2	15q15.2	UQCRB	8q22.1	ZFYVE26	14q24.1
TTC19	17p12	UQCRQ	5q31.1	ZIC1	3q24
TTC21B	2q24.3	UROC1	3q21.3	ZIC4	3q24
TTC8	14q31.3	VAMP1	12p13.31	ZNF423	16q12.1
TTPA	8q12.3	VAPB	20q13.32	ZSWIM6	5q12.1
TTR	18q12.1	VARS2	6p21.33		
TUBA1A	12q13.12	VCP	9p13.3		

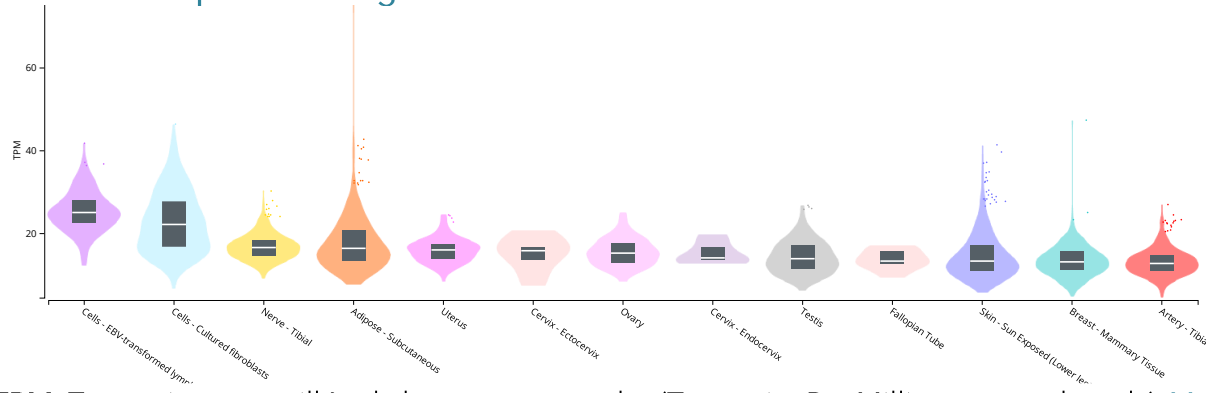


Resultados

Se identificó 1 Variante relacionada al cuadro clínico en los genes de interés

Gen	Descripción
GEMIN5	El gen GEMIN5 proporciona las instrucciones para producir una proteína con repeticiones WD, la cual es un componente del complejo de supervivencia de neuronas motoras. Este complejo juega un rol muy importante en el procesamiento del mRNA a través del ensamblaje de las ribonucleoproteínas pequeñas nucleares. La proteína producida por el gen GEMIN5 forma el componente es el componente del complejo SMN que se une a las ribonucleoproteínas pequeñas nucleares
Coordenadas de la variante	NM_015465.5:c.3046C>T
Posición	5:154,899,279
rsID	rs61749643
Frecuencias alélicas	Proyecto 1000 genomas: 0.0028 gnomAD: 0.004605
Valor de PolyPhen	probably_damaging
Valor de SIFT	tolerated
Significación clínica	uncertain_significance
Cigosidad	Variación HETEROZIGOTA de un solo nucleótido (SNV) C->T La variante rs61749643 ha sido descrita recientemente como una variante de características patogénicas (2022) y ha sido asociada a pacientes con síntomas de alteraciones neurológicas. Alteraciones bialelicas del gen GEMIN5, que incluyen a la variante rs61749643, han estado relacionados a un espectro clínico que incluye desde retraso del desarrollo global con inicio temprano a síndromes de ataxia con atrofia cerebelar de inicio tardío. Los estudios sugieren que esta variante provoca cambios en los procesos de dimerización de esta proteína.
Consecuencia del cambio de aminoácido	Francisco-Velilla R, et al. doi: 10.1002/ana.24284
<u>Bibliografía</u>	

Niveles de expresión del gen GEMIN5



TPM: Transcritos por millón de lecturas mapeadas (Transcript Per Million mapped reads). Mayores niveles de expresión en linfocitos, fibroblastos y nervio tibial.



Genes seleccionados por el ACMG

De acuerdo con los lineamientos y parámetros recomendados por el colegio americano de médicos genetistas, las variantes presentes que cumplieron con los criterios de selección como variantes patogénicas se encuentran resaltadas de color rojo en la siguiente tabla:

CONDICIÓN CLÍNICA	GEN	CONDICIÓN CLÍNICA	GEN
Amiloidosis ATTR hereditaria	TTR	Miocardiopatía hipertrófica	TNNT2
	BRCA1		TPM1
Cáncer hereditario de ovario y mama	BRCA2		BAG3
	PALB2	Miopatía miofibrilar	DES
Cáncer medular de tiroides familiar	RET		FLNC
		Neurofibromatosis Tipo 2	NF2
Complejo de esclerosis tuberosa	TSC1	Poliposis adenomatosa familiar	APC
	TSC2	Poliposis autosómica recesiva.	MUTYH
Deficiencia de biotinidasa	BTD	Retinoblastoma	RB1
Déficit de ornitina transcarbamila	OTC	Retinopatía relacionada a RPE65	RPE65
Diabetes del adulto joven	HNF1A	Síndrome de Ehlers-Danlos	COL3A1
Enfermedad de Pompe	GAA	Síndrome de hamartoma tumoral	PTEN
Enfermedad de Wilson	ATP7B		MLH1
Hemocromatosis hereditaria	HFE		MLH2
	APOB		MLH6
Hipercolesterolemia Familiar	LDLR	Síndrome de Lynch	MSH2
	PCSK9		MSH6
Hipertermia maligna	CACNA1S		PMS2
	RYR1		
	DSC2		ACTA2
Miocardiopatía arritmogénica del	DSG2		FBN1
ventrículo derecho	DSP	Síndrome de Marfan	MYH11
	PKP2	Síndrome de Loeyz-Dietz	SMAD3
	TMEM43	Aneurisma y disección aórtica familiar	TGFBR1
	BAG3		TGFBR2
	DES	Síndrome de neoplasia endocrina	MEN1
Miocardiopatía dilatada	FLNC	múltiple	RET
	RBM20		MAX
	TNNC1		SDHAF2
	TTN	Síndrome de paraganglioma-	SDHB
	ACTC1	feocromocitoma hereditario	SDHC
	GLA		SDHD
Miocardiopatía hipertrófica	LMNA		TMEM127
	MYBPC3	Síndrome de Peutz-Jeghers	STK11
	MYH7		BMPR1A
	MYL2	Síndrome de poliposis juvenil	SMAD4
	MYL3		TRDN
	PRKAG2	Síndrome de QT Largo	KCNH2
	TNNI3		KCNQ1



CONDICIÓN CLÍNICA	GEN
Síndrome de Brugada	SCN5A
Síndrome Li-Fraumeni	TP53
Síndrome Peutz-Jeghers	STK11
Síndrome Von Hippel-Lindau	VHL

CONDICIÓN CLÍNICA	GEN
Taquicardia ventricular polimórfica catecolaminérgica	CASQ2 RYR2 TRDN
Telangiectasia hemorrágica hereditaria	ACVRL1 ENG
Tumor de Wilms relacionado con el WT1	WT1

Todos los genes seleccionados, excepto GLA y MUTYH presentan un patrón de herencia autosómico dominante ó semidominante. *Patrón de herencia Ligado a X **Patrón de herencia autosómica recesivo.



Variantes potencialmente patogénicas de los genes seleccionados por la ACMG

No se identificaron variantes patogénicas en los genes seleccionados por la ACMG.

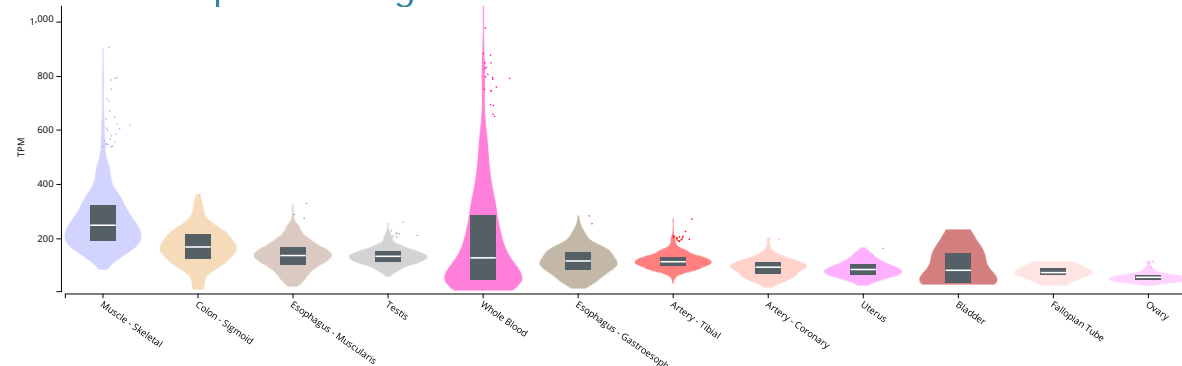


Genes de variantes potencialmente patogénicas de hallazgo incidental

Se aplican lineamientos y parámetros que permiten el descubrimiento incidental de variantes en regiones distintas a las solicitadas. En este caso, se identificó 1 variante patogénica de hallazgo incidental.

Gen	Descripción		
GYG1	El gen GYG1 proporciona las instrucciones para producir una proteína que es miembro de la familia de las glucogeninas. Las glucogeninas son glucosiltransferasas que catalizan la formación de un polímero corto de glucosa. Esta reacción es seguida por elongación y ramificación, catalizado por una glucógeno sintasa y enzimas ramificadoras. Este gen es expresado en músculos y otros tejidos.		
Coordinadas de la variante	NM_004130.4:c.304G>C	Cambio de Aminoácido	NP_004121.2:p.Asp102His
Posición	3:148,996,462		
rSID	rs143137713		
Frecuencias alélicas	Proyecto 1000 genomas: 0.0004 gnomAD: 0.001023		
Valor de PolyPhen	deleterious		
Valor de SIFT	tolerated		
Significancia clínica	pathogenic		
Cigosidad	Variación HETEROIGOTA de un solo nucleótido (SNV) G->C		
Consecuencia del cambio de aminoácido	La variante rs143137713 está asociada con deficiencia de glucogenina 1. Se han descrito pacientes con una miopatía de progreso lento, también asociado a almacenamiento de poliglucosano. Los estudios <i>in vitro</i> también señalan que la enzima producida con esta modificación es completamente inactiva		
Bibliografía	Malfatti E, et al. doi: 10.26508/lsa.202201403.		

Niveles de expresión del gen GYG1



TPM: Transcritos por millón de lecturas mapeadas (Transcript Per Million mapped reads). Mayores niveles de expresión en músculo esquelético, colon y esófago.



Descripción de los resultados

Gen	Descripción
GEN	Se reporta el símbolo del gen de acuerdo a HUGO Gene Nomenclature Committee (HGNC), junto con una descripción general de la función
Coordenadas de la variante	Se reportan las coordenadas de acuerdo a HGVS nomenclature Version 20.05. Las variantes se reportan respecto al transcripto sugerido por el proyecto MANE (The Matched Annotation from the NCBI and EMBL-EBI)
Cambio de Aminoácido	Se reportan el cambio de aminoácido de acuerdo a HGVS nomenclature Version 20.05.
Posición	Se reporta la posición genómica respecto a GRCh38
rsID	Se reporta el rsID (dbSNP Reference SNP number) (dbSNP version 154)
Frecuencias alélicas	Se reportan las frecuencias alélicas de acuerdo a 1000genomes version phase3 Se reportan las frecuencias alélicas de acuerdo a gnomADe versión 2.1.1
Valor de PolyPhen	Se reportan los valores de predicción de acuerdo a polyphen version 2.2.2
Valor SIFT	Se reportan los valores de predicción de acuerdo a sift version 5.2.2
Significancia Clínica	Se reporta la clasificación de la variante de acuerdo a los lineamientos sugeridos en: ACMG Standards and Guidelines (2015)
Cigosidad	Se reporta la Cigosidad detectada de acuerdo a Haplotype Caller Gatk 4.3
Consecuencia del cambio de aminoácido	Se reportan los hallazgos para la variante en la literatura de acuerdo a LitVar2
Niveles de expresión	Se presenta un gráfico con los niveles de expresión del gen de acuerdo a GTEx Analysis Release V8

Metodología empleada

Preparación de la muestra

Para la construcción de la biblioteca, el ADN se extrae de la muestra. Después de realizar el control de calidad (QC), las muestras calificadas proceden a la construcción de la biblioteca.

Construcción de bibliotecas

La biblioteca se prepara por fragmentación aleatoria de la muestra de ADN o ADNc, seguida de ligadura del adaptador en los extremos 5' y 3'. El proceso de etiquetado de los genes se realiza en un solo paso aumentando la eficiencia en el proceso de preparación de la biblioteca. Los fragmentos ligados al adaptador se amplifican por PCR y se purifican.

Secuenciación

Para la generación de agrupaciones de los genes, la biblioteca se carga en una celda de flujo donde los fragmentos se capturan con un conjunto de oligonucleótidos complementarios a los adaptadores de la biblioteca unidos a una superficie. Cada fragmento se amplifica en distintos grupos clonales a través de la amplificación. Cuando se completa la generación de las agrupaciones, las plantillas están listas para la secuenciación. La tecnología SBS de Illumina utiliza un método patentado basado en terminador reversible que detecta bases individuales a medida que se incorporan los nucleótidos a la cadena de ADN. Los dNTPs vinculados al terminador son perseverantes durante cada ciclo de secuencia, la competencia natural minimiza sesgo de incorporación y reduce en gran medida las tasas de error sin procesar en comparación con otras tecnologías.



Datos crudos

Los datos de secuenciación se convierten en datos sin procesar para el análisis.

Generación de datos crudos

El secuenciador Illumina genera imágenes en crudo que utilizan el software de control de secuenciación para el control del sistema y las llamadas de base a través de un software de análisis primario integrado llamado RTA (Tiempo Real Análisis). El binario se convierte en FASTQ utilizando el paquete bcl2fastq de illumina.

Análisis de variantes genéticas:

Se empleó el protocolo de buenas prácticas del Broad Institute para la determinación de variantes de línea germinal. En este protocolo se incluyó un filtro de calidad rutinario, mapeo de lecturas guiado por referencia (para este análisis fue usado el genoma referencia GRCh38), software de procesamiento de alineamientos, eliminación de tendencias ocasionadas por variantes de inserción o delección de nucleótidos (Indel) en los mapeos, reducción del sesgo en la asignación de calidades (que reportan los instrumentos NGS), genotipificaciones conjuntas, y finalmente diversos pasos estadísticos para la identificación de variantes genuinas. Con las variantes encontradas, se realizó la anotación de contexto genético. Para el caso de variantes no sinónimas se acopló información depositada en la base de datos dbNSFP, y para las variantes novedosas se realizaron predicciones funcionales usando el programa VEP. Finalmente, la anotación funcional de las variantes se complementó con la información de la base de datos ClinVar, MedGen, OMIM y GWAS. Las variantes con una frecuencia alélica menor de menos del 5% en la base de datos gnomAD y asociadas con alguna condición en ClinVar son evaluadas. La investigación de las variantes relevantes se enfoca en las regiones exónicas y regiones flanqueantes de +/-10 nucleótidos intrónicos en genes con una relación al fenotipo referido basada en información de OMIM y en literatura obtenida a través de LitVar2. LitVar2 es un servicio web de minado de texto y técnicas de aprendizaje automatizado (machine learning) que normaliza diferentes tipos de nomenclatura para una variante, para que todos los artículos relacionados en PubMed y PubMed Central puedan ser evaluados. Todas las variantes relacionadas al fenotipo del paciente son reportadas. Las variantes SNP e INDELS están soportadas por al menos una profundidad de 10x. Las variantes en el número de copias son analizadas bajo solicitud y se realizan a través de un flujo de trabajo que incluye la detección a través de CNVkit y clasificación a través de ClassifyCNV. La detección de CNV se basa en la profundidad de secuenciación esperada y esta última es obtenida a través de una colección de muestras procesadas bajo el mismo protocolo. Se reportan aquellas variantes que de acuerdo al programa Classify CNV contengan genes asociados a condiciones patogénicas.

Clasificación de patogenicidad de variantes

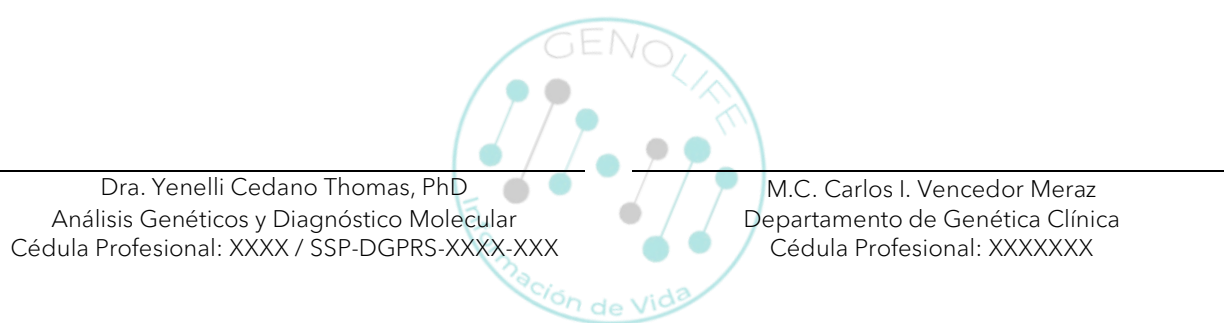
La clasificación de patogenicidad de variantes se da de acuerdo a los lineamientos establecidos por el American College of Medical Genetics and Genomics (ACMG). Las variantes son categorizadas en cinco categorías (pathogenic, likely pathogenic, VUS, likely benign, and benign)

LIMITACIONES: Los resultados genéticos se interpretan en el contexto de los hallazgos clínicos proporcionados, antecedentes familiares y otros datos de laboratorio. Solo se informan variantes en genes potencialmente relacionados con la condición médica solicitada. Puede haber una interpretación errónea de los resultados si los datos genéticos proporcionados o la información del paciente son inexactos o están incompletos. Si los resultados genéticos obtenidos no son compatibles con los hallazgos clínicos, se deben considerar pruebas adicionales.

Se excluyen los genes con problemas de mapeo en el ensamblaje del genoma GRCh38, los genes asociados a enfermedades que no codifican proteínas y aproximadamente 0,2 Mb de regiones genómicas que son difíciles de secuenciar con la tecnología de enriquecimiento actual y sin evidencia de relevancia para los trastornos monogénicos de este análisis. Los eventos genéticos más complejos, como inversiones, translocaciones y expansiones repetidas, no se analizan en esta prueba. Además, debido a las limitaciones tecnológicas, es posible que ciertas regiones no estén bien cubiertas o que no estén cubiertas en absoluto. En estas regiones y otras que abarcan secuencias repetitivas, de alta homología (como la homología de pseudogenes) y ricas en GC, pueden pasarse por alto. Se espera que las llamadas de cobertura



extremadamente baja (llamadas homo/hemicigotas o heterocigotas con menos de tres o cuatro lecturas, respectivamente) sean artefactos según nuestras extensas validaciones y, en consecuencia, no se consideran durante el análisis. Las CNV heterocigotas que abarcan menos de tres exones no se pueden detectar de manera confiable, por lo tanto, se excluyen de los análisis de rutina y solo se inspeccionarán e informarán por indicación médica o técnica. La sensibilidad de detección de CNV disminuye para regiones repetitivas y homólogas, como los pseudogenes. Es posible que no se detecten variantes mitocondriales con niveles de heteroplasmia por debajo del 15 %. Las variantes intrónicas que están más allá de los 10 nucleótidos de los límites exón-intrón no se consideran para el análisis de corte y empalme aberrante.



Para validar este estudio, escanea el código QR
o bien haz clic en él.



Bibliografía relacionada a variantes

- **GEMIN5**
 - Francisco-Velilla R, Embarc-Buh A, Del Caño-Ochoa F, Abellan S, Vilar M, Alvarez S, Fernandez-Jaen A, Kour S, Rajan DS, Pandey UB, Ramón-Maiques S, Martinez-Salas E. Functional and structural deficiencies of Gemin5 variants associated with neurological disorders. *Life Sci Alliance*. 2022 Apr 7;5(7):e202201403. doi: 10.26508/lsa.202201403. PMID: 35393353; PMCID: PMC8989681.
 - Rajan DS, Kour S, Fortuna TR, Cousin MA, Barnett SS, Niu Z, Babovic-Vuksanovic D, Klee EW, Kirmse B, Innes M, Rydning SL, Selmer KK, Vigeland MD, Erichsen AK, Nemeth AH, Millan F, DeVile C, Fawcett K, Legendre A, Sims D, Schnekenberg RP, Burglen L, Mercier S, Bakhtiari S, Francisco-Velilla R, Embarc-Buh A, Martinez-Salas E, Wigby K, Lenberg J, Friedman JR, Kruer MC, Pandey UB. Autosomal Recessive Cerebellar Atrophy and Spastic Ataxia in Patients With Pathogenic Biallelic Variants in GEMIN5. *Front Cell Dev Biol*. 2022 Feb 28;10:783762. doi: 10.3389/fcell.2022.783762. PMID: 35295849; PMCID: PMC8918504.
 - Francisco-Velilla R, Embarc-Buh A, Abellan S, Del Caño-Ochoa F, Ramón-Maiques S, Martinez-Salas E. Phosphorylation of T897 in the dimerization domain of Gemin5 modulates protein interactions and translation regulation. *Comput Struct Biotechnol J*. 2022 Nov 11;20:6182-6191. doi: 10.1016/j.csbj.2022.11.018. PMID: 36420152; PMCID: PMC9676205.
- **GYG1**
 - Malfatti E, Nilsson J, Hedberg-Oldfors C, Hernandez-Lain A, Michel F, Dominguez-Gonzalez C, Viennet G, Akman HO, Kornblum C, Van den Bergh P, Romero NB, Engel AG, DiMauro S, Oldfors A. A new muscle glycogen storage disease associated with glycogenin-1 deficiency. *Ann Neurol*. 2014 Dec;76(6):891-8. doi: 10.1002/ana.24284. Epub 2014 Oct 31. PMID: 25272951; PMCID: PMC4348070.
 - Hedberg-Oldfors C, De Ridder W, Kalev O, Böck K, Visuttijai K, Caravias G, Töpf A, Straub V, Baets J, Oldfors A. Functional characterization of GYG1 variants in two patients with myopathy and glycogenin-1 deficiency. *Neuromuscul Disord*. 2019 Dec;29(12):951-960. doi: 10.1016/j.nmd.2019.10.002. Epub 2019 Oct 23. PMID: 31791869.
 - Lefevre C, Schaeffer S, Carlier RY, Fournier M, Chapon F, Biancalana V, Nicolas G, Malfatti E, Laforêt P. Glycogenin-1 deficiency mimicking limb-girdle muscular dystrophy. *Mol Genet Metab Rep*. 2020 May 24;24:100597. doi: 10.1016/j.ymgmr.2020.100597. PMID: 32477874; PMCID: PMC7251390.

